

# تعیین زمان تکمیل واکنش تحت شرایط متفاوت دمایی در بهسازی خاک‌های ماسه‌بی به روش سیماناتاسیون بیولوژیکی

خواله دفتری (دانشجوی کارشناسی ارشد)

محمد آزادی\* (دانشیار)

دانشکده هندسی عمران، دانشگاه آزاد اسلامی، واحد فروزن

خواص مکانیکی خاک‌ها اغلب انتظارهای پسر را برآورده نمی‌سازند، به همین دلیل روش‌های بهسازی متفاوتی بررسی شده است. روش رسوب میکروبی کلسیت، روشی نوظهور است، که با استفاده از میکروگرگنیسم‌های موجود در خاک و فرایند‌های شیمیایی و تولید رسوب کلسیت، سبب بهبود خواص مکانیکی خاک شده است. همچنین روشی که هزینه و سازگار با محیط زیست است. اما نکته‌ی که در عدمه‌ی پژوهش‌های اخیر به آن توجه نشده است، بررسی آثار پارامترهایی، مانند: شرایط دمایی، غلطت مواد و غلطت باکتری متفاوت به صورت همزمان بوده است. در مطالعه‌ی حاضر از باکتری باسیلوس پاستوری در خاک ماسه‌بی استفاده شده است. نتایج نشان می‌دهند که پارامترهای مذکور تأثیر قابل توجهی در زمان تکمیل واکنش در شرایط متفاوت دارند. همچنین میزان تأثیر هر یک از آن‌ها (دما، غلطت باکتری و غلطت مواد) بررسی شده است.

واژگان کلیدی: سیماناتاسیون بیولوژیکی، باسیلوس پاستوری، خاک ماسه‌بی، تکمیل زمان واکنش.

## ۱. مقدمه

هیدرولیز اوره را شناسایی کنند. براساس مطالعات صورت گرفته‌ی در سال ۲۰۰۴<sup>[۱]</sup> نتیجه‌گیری شد که با توجه به صرفه‌ی اقتصادی و بیماری‌زا نبودن از باکتری باسیلوس پاستوری<sup>[۲]</sup> استفاده شود و همچنین بررسی عوامل مؤثر در رسوب کلسیت در روش اخیر نشان داد که هر چه دمای محیط بالاتر باشد (تا بیشینه‌ی ۷۰ °C)، میزان فعالیت اوره‌ی آزی آنژیم افزایش می‌یابد.<sup>[۳]</sup> در ادامه، در سال ۲۰۰۶، آثار روش رسوب میکروبی کلسیم کربنات با آزمایش برش مطالعه شده است. نتایج ارائه شده اثبات کرده است که سیماناتاسیون در نمونه‌ی ماسه‌ی سست از طریق مهار و کنترل فرایند‌های بیولوژیکی طبیعی قابل ساخت است.<sup>[۴]</sup> ضمن آنکه شرایط میکروبیولوژیکی خاک و روش‌های تسبیت خاک از طریق بررسی محیط‌های مناسب جهت رشد باکتری و تزریق باکتری به خاک، از مهم‌ترین بررسی‌ها در سال ۲۰۱۰ بوده است که از نتایج آن به اهمیت روش میکروبیولوژیکی در تسبیت و بهبود خواص خاک اشاره دارد.<sup>[۵]</sup> در خصوص رسوب میکروبی کربنات کلسیم، مطالعات دیگری صورت گرفته است که می‌توان به پژوهشی در سال ۲۰۱۲ اشاره کرد که هدف آن سنجش مقاومت نمونه‌های تیمار شده نبوده است، بلکه بررسی رسوبات تشکیل شده در اطراف دانه‌های ماسه و نوع آرایش آن‌ها و همچنین بهینه‌سازی واکنش تشکیل کلسیت بوده است.<sup>[۶]</sup> در این راستا، به منظور بهبود پارامترهای مقاومت برشی طبق مطالعاتی در سال ۲۰۱۵ نشان داده شده است که عامل مهم کنترل رفتار ماسه‌ی سیمانه شده در حالت‌های پیک به

گسترش جوامع و پیشرفت تکنولوژی، نشان دهنده‌ی نیازبیشتر به گسترش زیرساخت‌های شهری، مانند: پل‌ها، ساختمان‌ها، تونل‌ها و تسبیت خاک و دسترسی به خاک مناسب در صنعت ساخت و ساز است. برای ایجاد خواص مکانیکی مطلوب‌تر در خاک‌ها نیاز به تکنولوژی جدیدتری است، روشی جدید و سازگار که هیچ‌گونه آسیبی به محیط زیست وارد نکند. رسوب میکروسکوپی کربنات کلسیم، یک جایگزین با اهمیت بیوتکنولوژیکی بزرگ در صنعت ساخت و ساز دارد.<sup>[۷]</sup> به همین دلیل پژوهش‌های زیادی در مورد بررسی آثار انواع باکتری و تولید رسوب کربنات کلسیم جهت بهبود پارامترهای خاک انجام شده است.<sup>[۸]</sup>

روش اخیر با استفاده از علم شیمی در کنار رشته‌ی عمران از سال ۲۰۰۴ توسط شرکت دلتارس<sup>۱</sup> با همکاری اساتید دانشگاه دلف<sup>۲</sup> در هلند با آزمایش فشاری تک‌محوری بر روی یک استوانه‌ی ۱۶ سانتی‌متری صورت گرفت.<sup>[۹]</sup> کربنات کلسیم<sup>۳</sup> یا کلسیت یکی از شایع‌ترین مواد معدنی است که در فرایند رسوب میکروبی کلسیم کربنات پژوهشگران برای انتخاب یک نوع باکتری مناسب در سال ۲۰۰۴ به انجام آزمایش‌های فعالیت اوره‌ی آزی بر روی دو سویه‌ی باکتری باسیلوس پاستوری و پروتئوس ولکاریس<sup>۴</sup> پرداخته‌اند، تا مناسب‌ترین گرینه جهت استفاده در فرایند

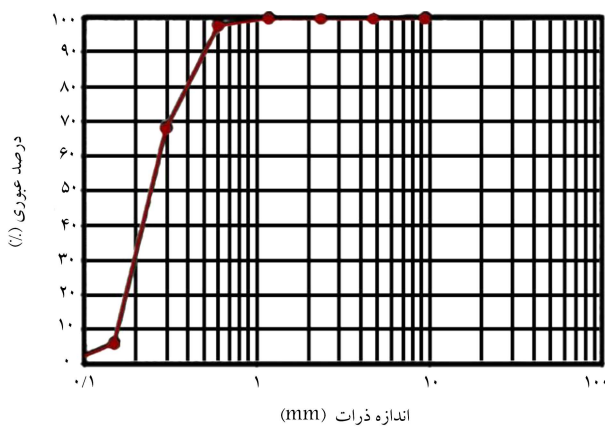
\* نویسنده مسئول

تاریخ: دریافت ۱۵، ۱۳۹۹/۹/۱، اصلاحیه ۱۴۰۰/۱/۱۴، پذیرش ۲/۴، ۱۴۰۰.

DOI: 10.24200/j30.2021.57034.2875

جدول ۱. مشخصات فیزیکی خاک مورد مطالعه.

نوع خاک	چگالی ( $kN/m^3$ )	نسبت تخلخل	وزن مخصوص خشک ( $Gs$ )	پیشینه کینه
ماسه (SP)	۱۵/۹	۰/۴۲	۰/۸۷	۲/۶۳

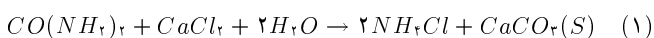


شکل ۱. منحنی دانه‌بندی خاک ماسه‌یی مطالعه شده.

حفره‌ها به حجم دانه‌های جامد تعریف می‌شود که به بیشترین نسبت تخلخل خاک (منتظر با شل ترین حالت)، نسبت تخلخل پیشینه و به کمترین نسبت تخلخل خاک (منتظر با سفت ترین حالت)، نسبت تخلخل اطلاق می‌شود. براساس استاندارد ASTM-D۲۴۸۷، ضریب یکنواختی ( $C_u$ ) برابر  $1/7$  و ضریب دانه‌بندی ( $C_c$ ) برابر  $8/8$  و رطوبت پیشینه برابر  $12\%$  بوده است. همچنین مقاومت فشاری ماسه‌یی تمیز قبل از سمتته شدن معادل  $943$  کیلوپاسکال بوده است.

## ۲.۲. میکرو ارگانیسم

تاکنون باکتری‌های مختلفی، از جمله هوایی و بی‌هوایی مطالعه شده‌اند که بین آن‌ها باکتری پاسیلوس پاستوری که نوعی باکتری هوایی است، بهترین عملکرد را از خود نشان داده است.<sup>[۱۰]</sup> باکتری مذکور از خانواده پاسیل هاست که ساختار پیش‌ویژه شکل دارد و بیماری زایستی و در طبیعت به وفور یافت می‌شود که با نام اسپرسراریتا پاستوری<sup>۷</sup> نیز شناخته شده است که قابلیت اوره‌ی آری دارد. در پژوهش حاضر، از باکتری پاسیلوس پاستوری استفاده شده است، که به صورت پودر لیوفلیزه<sup>۸</sup> با شماره‌ی PTCC ۱۶۴۵ (DSM ۳۳) از مرکز پژوهش‌های صنعتی ایران تهیه شده است. در روش اخیر، دانه‌های خاک به کمک کلسیم کلاراید است، به یکدیگر متصل می‌شوند و چسبنده‌گی خاک به میران قابل توجهی افزایش پیدا خواهد کرد. آنچه که سبب افزایش مقاومت خاک در روش ذکر شده می‌شود، کلسیم کربناتی است که از واکنش میان اوره و کلسیم کلاراید حاصل می‌شود. از این رواز باکتری پاسیلوس پاستوری جهت افزایش سرعت فرایند اخیر و در نقش یک کاتالیزور استفاده می‌شود که محصول آن کربنات و آمونیوم است.<sup>[۱۱]</sup> مکانیزم عملکرد کلسیت در افزایش مقاومت خاک در شکل ۲ مشاهده می‌شود. واکنشی که در حضور باکتری پاسیلوس پاستوری صورت می‌گیرد، به صورت رابطه‌ی ۱ است:<sup>[۱۲]</sup>



که در آن،  $H_2O$  آب؛  $CaCl_2$  کلسیم کلاراید؛  $CO(NH_2)_2$  اوره؛  $CaCO_3$  کلسیم کربنات؛  $NH_4Cl$  آمونیوم کلاراید است.

میزان سطح سیمانی شدن و محدود کردن فشار بستگی دارد.<sup>[۱۲]</sup> در همان سال، پژوهش دیگری با هدف ارزیابی عوامل مؤثر در مقاومت برپی خاک بهسازی شده به روش بیولوژیکی با استفاده از روش تاگوچی ارائه شده است. بررسی میزان عوامل در نظر گرفته شده به وسیله‌ی تحلیل واریانسی (غلظت باکتری، میزان مواد غذی، مدت زمان گیرش خاک و نسبت حجمی سوسپانسیون به مواد غذایی) نشان داد که درصد تأثیر عوامل مذکور در مقاومت برپی خاک به ترتیب  $20\%$ ،  $45\%$  و  $12\%$  بوده است.<sup>[۱۲]</sup>

ارزیابی تغییر رفتار ماسه‌ها تحت سیمانی شدن بیولوژیکی عنوانی بوده است که در سال ۲۰۱۷ مطالعه شده است. طبق مطالعات اخیر، افزایش چسبنده‌گی، تغییرات راویه‌ی اصطکاک و سطح تشیین این مفهوم را می‌رساند که رفتار مصالح از حالت اتساعی به رفتار مصالح نرم و چسبنده نزدیک شده است.<sup>[۱۳]</sup> همچنین بررسی بهبود خواص فیزیکی و دینامیکی خاک ماسه‌یی نرم اطراف رود نیل در مصر (۲۰۱۸) نشان می‌دهد که تزریق باکتری با روشن محلول شیبت نسبت به روش بدون محلول شیبت در شرایط مشابه مؤثرer است.<sup>[۱۴]</sup> در همین ارتباط مطالعه‌ی (۲۰۱۹) با رویکرد مشابه به منظور جلوگیری از فرسایش خاک‌های دانه‌یی ناپایدار انجام شده و نتایج نشان داده است که روش MICP<sup>۹</sup>، خاک دانه‌یی ناپایدار را شیبت کرده است.<sup>[۱۵]</sup>

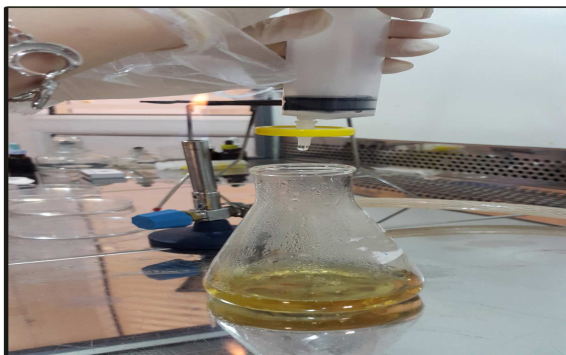
در سال‌های اخیر، مطالعات متعددی در ارتباط با سیماناتسیون بیولوژیکی خاک‌های ماسه‌یی تحت آزمایش‌های مختلفی صورت گرفته است. تعداد دفعات تزریق، زمان لازم برای انجام واکنش پیشینه و میزان غلظت مواد و باکتری استفاده شده در مقاومت و سختی نهایی نمونه‌ی ماسه تأثیرگذار است. با توجه به نتایج مطالعه‌ی دیگری در سال ۲۰۲۰، تزریق چندمرحله‌یی محلول می‌تواند نفوذپذیری خاک را به طور مؤثری کاهش دهد. همچنین تزریق چندمرحله‌یی در غلظت‌های مختلف، تأثیر معنی‌داری در میزان مقاومت نمونه داشته است.<sup>[۱۶]</sup>

در پژوهش حاضر سعی برآن بوده است که علاوه بر استفاده از نتایج پژوهش‌های پیشین، نتایج مطلوب و قابل قبولی در ارتباط با تعیین زمان تکمیل واکنش تحت شرایط متفاوت دمایی و مولاریته‌ها و غلظت باکتری مختلف به دست آید. در کنار آن به بررسی پارامتر نفوذپذیری خاک سیمانات شده به عنوان پارامتر کنترل‌کننده پرداخته شده است. در سایر پژوهش‌ها، اکثر<sup>۱۰</sup> یک پارامتر به صورت متغیر و سایر پارامترها ثابت فرض شده‌اند که مهم‌ترین نوآوری پژوهش حاضر بررسی هم‌زمان سه متغیر: دما، مولاریته‌ی مواد و غلظت باکتری بوده است؛ چه بسا یک مهندس عمران بتواند با درست داشتن میران مواد بهبودهندۀ خاک به نتیجه‌ی مطلوبی دست یابد. در نتیجه بررسی میزان غلظت باکتری، دمای مورد آزمایش (برای مرحله‌ی اجراء در فصول مختلف سال و دماهای متفاوت) و مولاریته‌ی مواد مصرفی، اساسی‌ترین موضوع در پژوهش حاضر بوده است.

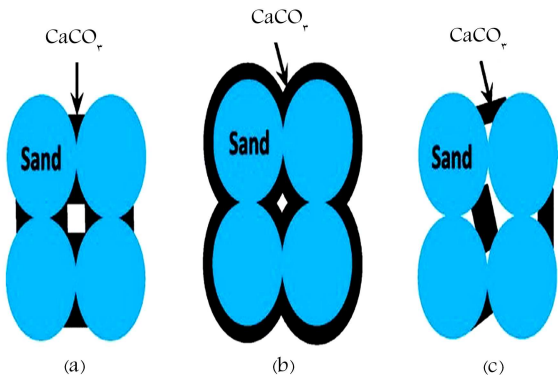
## ۲. معرفی مواد و مصالح مصرفی

### ۲.۱. خاک مطالعه شده

در پژوهش حاضر، از خاک ماسه‌یی با دانه‌بندی یکنواخت (SP) و همگن و ایزوتروب با محدوده دانه‌بندی خاک بین  $0/۰$  تا  $1$  میلی‌متر براساس استاندارد ASTM-D-۲۴۸۷ استفاده شده است. مشخصات فیزیکی خاک مورد مطالعه مطابق جدول ۱ بوده است. در شکل ۱، منحنی دانه‌بندی خاک ماسه‌یی مطالعه شده در پژوهش حاضر مشاهده می‌شود. نسبت تخلخل به صورت نسبت حجم



شکل ۳. تزریق محلول اوره با کمک فیلتر اوره.



شکل ۲. عملکرد مکانیکی کلسیت در افزایش مقاومت خاک.



شکل ۴. محیط کشت جامد.



شکل ۵. باکتری جدا شده از محیط کشت.

کشت تزریق شده است. همچنین باید توجه داشت که باکتری‌های هوایی برای رشد به اکسیژن نیاز دارند که برای تأمین آن لازم است تا ۲۰٪ از حجم ظرف خالی بماند. بهترین زمان برای جداسازی باکتری‌های بین ۲۴ تا ۴۸ ساعت است. طبق آزمایش‌های انجام شده هر چه به ۴۸ ساعت نزدیک‌تر شود، غلظت باکتری تولید شده در محیط کشت بیشتر است.<sup>[۱۱]</sup> به منظور جداسازی باکتری از محیط کشت، از دستگاه سانتریفیوز به مدت ۲۰ دقیقه با دور ۴۰۰۰ rpm استفاده شده است. بعد از اتمام کار، لخته‌ی باکتری باقیمانده با کمک محلول رینگر (یک عدد قرص رینگر حل شده در ۵۰۰ سی سی آب مقطر) ریقیق شد (شکل ۵) و برای تعیین غلظت آن که پارامتر مهمی در پژوهش حاضر است، با کمک دستگاه اسپکتروفوتometرکه بر روی موج ۶۰۰ nm تنظیم شده بود، اندازه‌گیری صورت گرفت.

در سال ۱۹۷۴، در کشور راپن در اثر تزریق دوغاب اکریلامید<sup>۹</sup> و ایجاد سمومیت در آب‌های زیرزمینی، استفاده از دوغاب‌های اکریلامید منع شد.<sup>[۱۸]</sup> از طرف دیگر، در بهسازی با مواد متداول، به دلیل وارد کردن یک ماده‌ی خارجی به داخل خاک، علاوه بر اینکه در محیط زیست منطقه اثر سوء می‌گذارد، به دلیل ایجاد یک منطقه‌ی نفوذناپذیر در خاک باعث تغییر مسیر آب‌های زیرزمینی می‌شود که مسئله‌ی اشاره شده می‌تواند کل شرایط زیستی منطقه را دگرگون سازد. اما در روش سیماناتسیون بیولوژیکی از فرایندهای موجود در خود خاک جهت بهسازی و تقویت استفاده شده است.<sup>[۱۹]</sup> سیماناتسیون بیولوژیکی می‌تواند به صورت جامد و مایع استفاده شود. در حالت مایع، دوغاب زیستی می‌تواند با وسکوزیته‌ی بسیار کم، همانند آب جریان یابد. بنابراین در مقایسه با سیمان و مواد شیمیایی، راحت‌تر در داخل خاک انتقال می‌یابد.<sup>[۲۰]</sup>

### ۳. آماده‌سازی نمونه

#### ۱.۳. تهیه‌ی محیط کشت جامد

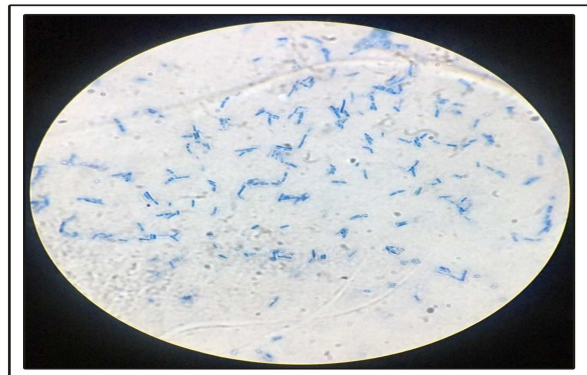
برای تهیه‌ی محیط کشت جامد، ۱/۲ گرم ناتریبت آگار<sup>۱۰</sup> حل شده در ۶۰ سی سی آب مقطر که حرارت دیده و شفاف شده بود، داخل دستگاه اتوکلاو در دمای ۱۲۱°C به مدت ۱۵ دقیقه قرار گرفت، تا کاملاً استریل شود. در ادامه، محلول ۱/۲ گرم اوره به همراه ۶ سی سی آب مقطر با کمک فیلتر اوره وارد محیط کشت شد (شکل ۳) و در تعدادی پلیت ریخته و اجازه داده شد تا همانند ژله شود. با کمک نوک آنس، یک لوب از محیط کشت حاوی باکتری به صورت زیگ زاگ به پلیت منتقل شد و به مدت ۲۴ الی ۴۸ ساعت داخل انکوباتور با دمای ۳۵°C قرار گرفت، تا باکتری‌ها در محیط کشت مذکور به رشد مطلوب برسند. سپس پلیت‌ها داخل یخجال در دمای ۴°C نگهداری شدند (شکل ۴). باکتری‌های کشت داده شده در محیط ذکر شده تا یک ماه فعال و قابل استفاده هستند.

#### ۲.۳. تهیه‌ی محیط کشت مایع

از محیط کشت مایع جهت تهیه‌ی سوسپانسیون باکتری استفاده می‌شود. ۱۸ گرم محیط کشت ناتریبت براث ۱۱ حل شده در ۱۰۰۰ سی سی آب مقطر در دمای ۱۲۱°C به مدت ۱۵ دقیقه در داخل دستگاه اتوکلاو قرار داده شد تا کاملاً استریل شود. سپس به میزان ۲٪ از محیط کشت (۲۰ گرم اوره) در ۱۰۰ سی سی آب مقطر حل شده با کمک فیلتر اوره زیر هود لامینار تحت شرایط استریل به محیط



شکل ۷. نمونه‌ی خاک سیمانته شده.



شکل ۸. تصویر باکتری پس از رنگ‌آمیزی زیر میکروسکوپ.



شکل ۹. نمونه‌ها در حال واکنش با هیدروکلریک اسید.

آوردن زمان بهینه‌ی واکنش به صورت دو فازی، ولی در یک مرحله تزریق، از ۵ ساعت تا ۲۷ ساعت بررسی شدند. با توجه به ابعاد و تعداد نمونه‌ها در مرحله‌ی اول، ۲۵ سی سی سوسپانسیون باکتری به خاک تزریق شد و پس از ۱ ساعت محلول تثبیت و پس از ۶ ساعت اشباع ماندن در این حالت، محلول سیماناتاسیون به خاک تزریق شد و پس از گذشت زمان‌های موردنظر، نمونه‌ها جهت پایان دادن به واکنش با آب مقطر شسته شدند و به مدت ۵ الی ۷ روز داخل آون قرار گرفتند تا خشک شوند. وزن نمونه‌ها اندازه‌گیری شد، سپس نمونه‌ها با اسید ۵/۰ مولار هیدروکلریک اسید ۱۲ و نیز مجدداً با آب مقطر برای جلوگیری از واکنش اضافی با اسید شست و شو داده شدند. در اثر واکنش نمونه با هیدروکلریک اسید، گاز کربن دی‌اکسید ۱۳ نمونه خارج (شکل ۸) و پس از خشک شدن، وزن ثانویه قرائت شده است.

#### ۴. ارزیابی نتایج

در نوشتار حاضر با بررسی اثر رسوپ‌های میکروبی کلسیم کربنات و تغییرات در دما، غلظت مواد و غلظت باکتری در نمونه‌ها، این نتایج به دست آمده است. همچنین پس از دستیابی به ۵۴ نمونه و بدست آوردن درصد خطای بین هر دو نمونه‌ی آزمایش، که همگی خطای کمتر از ۸٪ داشته‌اند، برای سهولت کار مقادیر میانگین در نظر گرفته شده است.

##### ۱.۴. ارزیابی آزمایش نفوذپذیری

آزمایش ضریب نفوذپذیری با بار آبی ثابت، یک آزمایش مناسب برای تخمین و تعیین ضریب نفوذپذیری خاک‌های دانه‌یی است، که به راحتی قابل آزمایشگاه

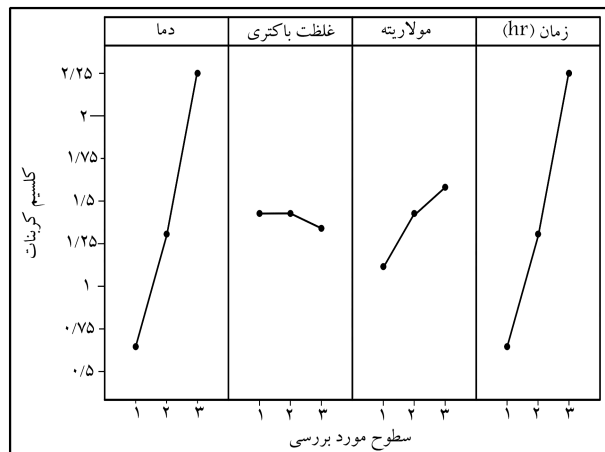
#### ۳. رنگ آمیزی و سنجش خلوص باکتری

برای اطمینان از خلوص باکتری‌ها، باید آزمایش رنگ آمیزی انجام شود. در ابتدا، مقداری از محیط کشت مایع حاوی باکتری روی لام ریخته شد تا خشک شود. سپس به مدت ۳ دقیقه، تمام سطح به کمک محلول متیلن بلو آگشته شد و درنهایت، برای بررسی فعالیت باکتری‌ها، لامی که با آب مقطر شسته و خشک شده بود، در زیر میکروسکوپ قرار داده شد (شکل ۶).

#### ۴. ساخت نمونه

در پژوهش حاضر، نمونه‌ها به صورت دو فازی ساخته شده‌اند که در فاز اول محلول سوسپانسیون باکتری و در فاز دوم، محلول حاوی کلسیم کلراید به خاک تزریق شده‌اند.<sup>[۱۱]</sup> همچنین خاک مورد مطالعه در ابتدا به صورت غیراشباع بوده است. در مجموع ۶۰ عدد نمونه جهت آزمایش ساخته است که شامل ۵۴ نمونه جهت آزمایش اسیدشوابی، ۳ نمونه جهت آزمایش نفوذپذیری و ۳ نمونه جهت آزمایش اسکن الکترونی ساخته شده است. محلول سیماناتاسیون را می‌توان به صورت نفلی، به کمک پمپ پریستالیک و یا با استفاده از شیر تخلیه در پایین قالب تزریق کرد. نمونه‌های نفوذپذیری در ۴ مرحله‌ی تزریق انجام شده‌اند، بدین صورت که در ابتدا ۲۵۰ سی سی محلول باکتری به داخل قالب حاوی ۸۵۶ گرم ماسه اضافه شد و نمونه به مدت ۱ ساعت در حالت اشباع قرار گرفت. سپس به میزان ۲۵۰ سی سی محلول تثبیت (با توجه به مولار نمونه‌ی کلسیم کلراید حل شده در آب مقطر) به نمونه تزریق شد و باز به حالت اشباع باقی ماند. بعد از گذشت ۶ ساعت، ۲۵۰ سی سی محلول سیماناتاسیون و با گذشت ۱۲ ساعت، ۲۵۰ سی سی دیگر از آن به نمونه تزریق شد و همه‌ی روند آخر، بعد از گذشت ۱۲ ساعت دوباره تکرار شد. کمیته‌ی زمان فرآوری موردنیاز برای دستیابی به مقاومت بیشینه، ۲۸ روز تعیین شده است.<sup>[۱۷]</sup> در مرحله‌ی آخر، نمونه تا ۳۰ روز در حالت اشباع باقی ماند. سپس داخل آون قرار گرفت تا نمونه‌ها خشک و آماده‌ی آزمایش شوند (شکل ۷). واکنش تشکیل کلسیت در نمونه‌ها در غلظت‌های متعارف واکنش دهنده‌ها در مدت زمانی کمتر از ۲۴ ساعت به پایان رسید، اما مشاهده‌های صورت گرفته گویای آن هستند که علی‌رغم پایان یافتن واکنش در ساعت‌های اولیه‌ی پس از تزریق، مقاومت نمونه‌ها طی زمان افزایش می‌یابد.<sup>[۱۱]</sup>

۲۷ نمونه در حالت‌های مختلف با ۴ متغیر و ۲ بار تکرار جهت صحت سنجی کار (در مجموع ۵۴ نمونه) با ابعاد مشخص ( $60\text{ mm} \times 26\text{ mm}$ ) جهت آزمایش اندازه‌گیری تکمیل زمان واکنش با میزان حدود ۷/۵۸ گرم خاک ماسه‌یی برای بدست



شکل ۱۰. نمودار تحلیل نتایج با استفاده از الگوریتم تاگوچی.

جدول ۳. سطوح موردبررسی طبق نمودار تحلیل تاگوچی.

زمان (hr)	مولاریته (mol/L)	دما (°C)	سطوح بررسی شده	غلظت باکتری (OD)
۱۵.۱۰.۵	۰/۳	۱۰ - ۰/۸	۱	۱/۲ - ۰/۸
۲۵.۱۴.۷	۰/۵	۲۵	۲	۲ - ۱/۲
۲۷.۲۲.۱۷	۱	۴۵	۳	۴ - ۲

به همین دلیل برای دستیابی به بهترین حالت طراحی آزمایش با توجه به زیاد بودن متغیرها از الگوریتم تاگوچی استفاده شده است. نمونه‌ها طبق طرح الگوریتم تاگوچی در نرم افزار مینی تب آزمایش شدند و نتایج آزمایش‌ها برای تحلیل اولیه در مرحله‌ی دوم دوباره به نرم افزار معرفی شدند، تا بیشترین میزان تأثیر را نمایش دهند. تحلیل نتایج تاگوچی (شکل ۱۰ و جدول ۳) نشان داد که در بین ۴ متغیر، بیشترین تأثیر را مستقیماً دما و زمان داشته‌اند. بدین صورت که با افزایش دما و زمان، مقدار کربنات کلسیم بیشتری در نمونه‌ها تشکیل می‌شود. همچنین نتایج حاکی از آن است که در نمونه‌ها حتی در ساعت‌های اولیه هم کلسیم کربنات تشکیل شده است، اما برای نتیجه‌ی بهتر تکمیل واکنش، زمان بیشتری برای نمونه‌ها با غلظت بالاتر نیازمند است. تأثیر مولاریته نسبت به زمان و دما کمتر بوده است، ولی بیان می‌کند که با افزایش غلظت اوره و کلراید کلسیم، کلسیم کربنات بیشتری در نمونه‌ها تشکیل شده است. تغییرات جزئی غلظت باکتری (OD) (حدود ۵٪) را می‌توان خطای آزمایشگاهی محاسبه کرد. در نتیجه در ادامه‌ی روند از تغییرات OD صرف‌نظر شده است.

#### ۱.۲.۴. بررسی اثر تغییرات دما در میزان بازدهی کلسیم کربنات در غلظت ثابت

مطابق نمودارهای اخیر، افزایش دما باعث بالا رفتن سرعت تشکیل کلسیم کربنات و بازدهی بیشتر در طول زمان واکنش در نمونه‌ها با غلظت یکسان می‌شود. در شکل ۱۱، در ۵ ساعت اول آزمایش با توجه به سه دمای متفاوت آزمایش، نتایج به دست آمده نشان می‌دهند که هر چه دمای نمونه بیشتر شود، میزان رسوبات کلسیم کربنات تشکیل شده بیشتر است و در نتیجه، واکنش در زمان کمتری به بازدهی بالاتر دست می‌یابد. در شکل ۱۱، با دمای ثابت  $10^{\circ}\text{C}$  درصد بازدهی کلسیم کربنات در ۱۵ ساعت برابر  $86/7\%$  و در ۵ ساعت برابر  $86/6\%$  است که نسبت دو مقدار ذکور به هم برابر  $1/44$ ٪ بوده است. همین نسبت برای دمای  $25^{\circ}\text{C}$  برابر  $1/26$ ٪ و برای دمای  $45^{\circ}\text{C}$ ،  $45/1\%$  افزایش را نشان داده است که بیانگر آن است که نمونه در



شکل ۹. انجام آزمایش نفوذپذیری.

جدول ۲. ضریب نفوذپذیری ماسه‌ی سیمانه شده و سیمانه نشده.

شماره نمونه	ضریب نفوذپذیری ( $\text{cm}/\text{s}$ )	مولاریته ( $\text{mol}/\text{L}$ )
-	-	ماسه‌ی تمیز
۱	۰/۳	۰/۰۷۴
۲	۰/۵	۰/۰۶۵
۳	۱	۰/۰۵۲

است. نمونه‌های نفوذپذیری با قالب لوله PVC با قطر ۷ سانتی‌متر و ارتفاع ۱۴ سانتی‌متر با توجه به ابعاد سل دستگاه نفوذپذیری در سه حالت با غلظت مواد مختلف ( $0/3$ ،  $0/5$  و  $1$  مولار) با غلظت باکتری ثابت در بازوی  $8/0$  تا  $1/2$  با یک نمونه ماسه‌ی سیمانه نشده جهت نمونه‌ی شاهد مقایسه و آزمایش شدند (شکل ۹). نفوذپذیری با هد (بار) ثابت با استفاده از رابطه ۲ محاسبه شد:

$$k = \frac{Q \cdot L}{A \cdot \Delta h}, Q = \frac{V}{t} \quad (2)$$

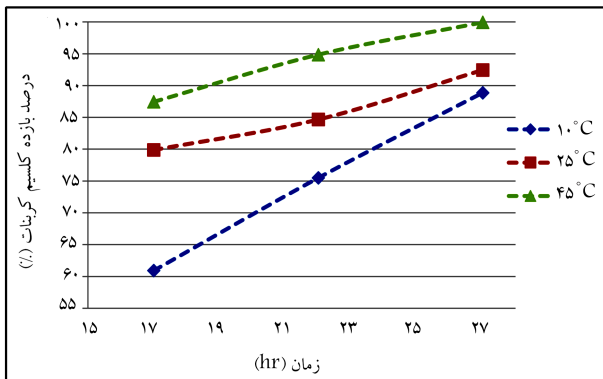
نتایج به دست آمده نشان داد که نمونه‌های سیمانه شده، نفوذپذیری کمتری دارند و همچنین نتایج حاکی از آن است که افزایش غلظت مواد در نفوذپذیری تأثیرگذار بوده است. با افزایش غلظت مواد، نمونه‌ها نفوذپذیری کمتری دارند. طبق جدول ۲، نمونه‌ی ماسه‌ی تمیز نسبت به نمونه  $0/3$  مولار  $7/5/0\%$ ، نسبت به نمونه  $0/5$  مولار  $18/18\%$  و برای نمونه  $1$  مولار  $35/35\%$ ، کاهش نفوذپذیری مشاهده شده است.

#### ۲.۴. تکمیل زمان واکنش

در پژوهش حاضر از سه غلظت مختلف مواد  $0/5$ ،  $0/0/۵$  و  $1$  مولار در  $3$  غلظت باکتری متفاوت با غلظت هایی با بازه‌های  $0/۰/۸$  تا  $1/2/۰$  تا  $۲/۰/۲$  تا  $۱/۰/۲$  و در سه دمای  $10^{\circ}\text{C}$ ،  $25^{\circ}\text{C}$  و  $45^{\circ}\text{C}$ ، برای ساخت نمونه‌ها استفاده شده است. اختلاف بین دو وزن اولیه و ثانویه، میزان رسوب‌های کلسیم کربنات را نشان می‌دهد. مقدار مذکور با مقدار تئوری که از معادلات استوکیومتری به دست می‌آید (رابطه ۱)، میزان بازده واکنش‌ها را نشان می‌دهد و مقایسه صورت می‌گیرد. به دلیل تکرار نمونه‌ها، مقدار میانگین هر دو نمونه می‌شاید برای میزان بازده در نظر گرفته شد. طراحی آزمایش‌ها، یکی از مهم‌ترین مباحثی است که امروزه در صنایع مختلف به ویژه فعالیت‌های آزمایشگاهی مطرح می‌شود. در واقع طراحی آماری جهت آزمایش‌های تجربی یک اصل اساسی در انجام مطالعات آزمایشگاهی و صنعتی محسوب می‌شود. طراحی‌های آماری باعث مطالعات آزمایشگاهی و صنعتی محسوب و کاهش قابل ملاحظه در تعداد آزمایش‌ها و نیز منجر به بهینه‌سازی فرایند می‌شود؛

جدول ۴. درصد بازدهی کلسیم کربنات در زمان‌های مختلف واکنش نسبت به زمان اولیه‌ی انجام آزمایش.

	بازدهی (درصد)	دما
	۲۵ hr / ۷ hr	۱۴ hr / ۷ hr
۱/۶۵		۱۰ °C
۱/۳۲	۱/۵۱	۲۵ °C
۱/۱۶	۱/۲۷	۴۵ °C
	۱/۱۱	۴۵ °C



شکل ۱۳. نمودار درصد بازده کلسیم کربنات بر حسب زمان انجام واکنش برای نمونه‌ی ۱ مولار.

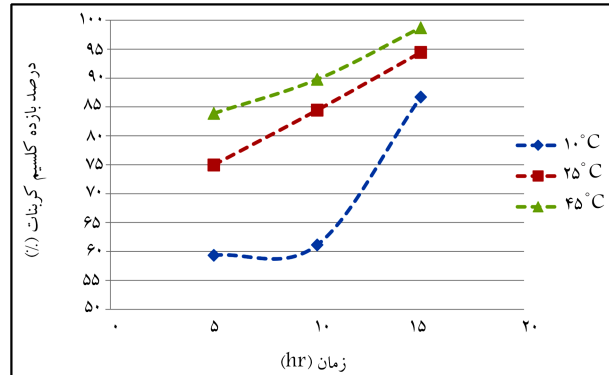
کربنات در نمونه با غلظت بالاتر مشاهده می‌شود. همچنین نسبت‌های بازدهی کلسیم کربنات در دمای مختلف و میزان افزایش هر کدام طی زمان مشخص در جدول ۴ ارائه شده است.

شکل ۱۳، نمونه‌های ۱ مولار ثابت با شرایط دمایی متفاوت را نشان می‌دهد. نتایج بدست آمده همانند دو سری نمونه‌ی دیگر حاکی از آن است که دما تأثیر بهسزایی در روند تشکیل کلسیم کربنات و زمان تکمیل واکنش دارد. در مجموع سه نمودار اخیر بیشترین میزان درصد بازده کلسیم کربنات به نمونه با غلظت ۱ مولار و دمای ۴۵°C و در زمان ۲۷ ساعته به میزان ۹۹/۹۲ عالی گرفته است که نشان‌دهنده آثار چشم‌گیر هم‌زمان غلظت، زمان و دمای بالا در نمونه است. نمونه‌ها با غلظت بالاتر و دمای بیشتر با سرعت بیشتری به میزان بیشینه‌ی خود می‌رسند. اگر شرایط جوی با دمای پایین رخ دهد، باید برای نتیجه‌ی مطلوب تر، زمان بیشتری برای انجام واکنش و در آخر مقاومت بهتر اتخاذ شود.

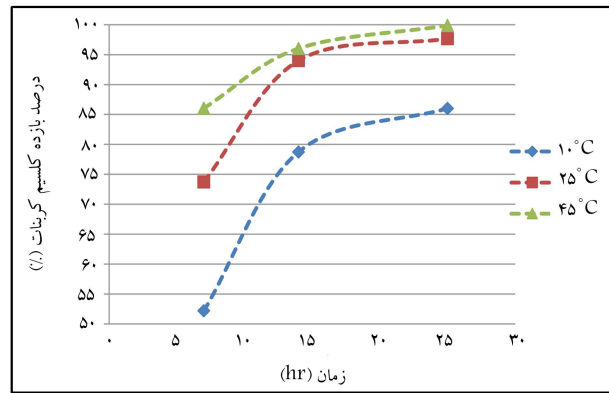
#### ۲.۲۴. بررسی اثر تغییرات غلظت مواد در میزان بازدهی کلسیم کربنات در دمای ثابت

در مرحله‌ی بعدی به تحلیل نمودارها با دمای ثابت و غلظت‌های مختلف مواد در ساعت‌های متفاوت برای بررسی اثر تغییرات غلظت در روند آزمایش پرداخته شده است (شکل‌های ۱۴ الی ۱۶). دلیل اصلی متفاوت بودن زمان برای نمونه‌ها، غلظت متفاوت مواد است که در پژوهش حاضر برای غلظت‌های بالاتر، زمان‌های بیشتری برای بررسی زمان تکمیل واکنش و بررسی آثار غلظت در نظر گرفته شده است. شکل ۱۴، نمایانگر نمودار نمونه‌ها با دمای ثابت ۱۰°C در غلظت‌های مختلف مواد در زمان‌های انجام آزمایش است. طبق نتایج تغییرات افزایش کلسیم در نمونه‌ی ۳/۰ مولار برابر ۲۰/۲۷، نمونه‌ی ۵/۰ مولار، ۴۲/۳۲، دو نمونه‌ی ۱ مولار برابر ۶۹/۸۹ بوده است و نشان می‌دهد که نمونه‌ی ۱ مولار در کمترین زمان بیشترین تغییرات را دارد.

شکل ۱۵، نمونه‌ها با دمای ثابت ۲۵°C در غلظت‌های مختلف را نشان



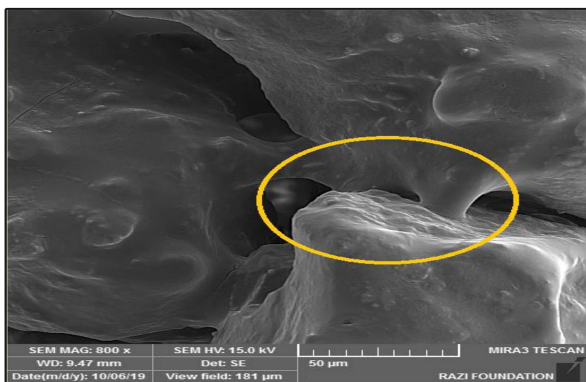
شکل ۱۱. نمودار درصد بازده کلسیم کربنات بر حسب زمان انجام واکنش برای نمونه‌ی ۳/۰ مولار.



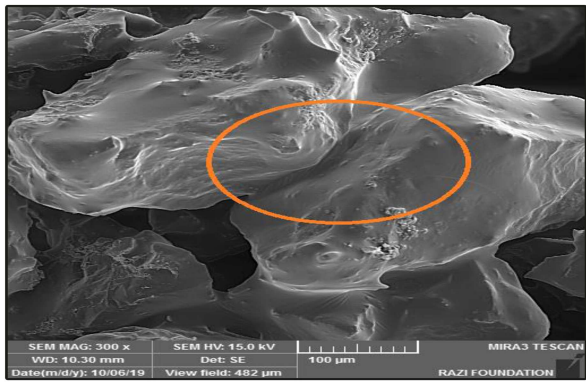
شکل ۱۲. نمودار درصد بازده کلسیم کربنات بر حسب زمان انجام واکنش برای نمونه‌ی ۵/۰ مولار.

دماهای ۱۰°C به زمان بیشتری برای رسیدن به میزان مطلوب کلسیم کربنات نیازمند است و نمونه با دمای ۴۵°C، با زمان کمتر و مقدار بیشتر به میزان بیشینه‌ی خود می‌رسد. همچنین نمودار مذکور نشان می‌دهد که تفاوت سرعت واکنش در دمای پایین نسبت به دمای‌های بالاتر بیشتر است، ولی با افزایش زمان تفاوت آن‌ها به تدریج کاهش می‌یابد، یعنی نمونه‌ها با دمای پایین‌تر، برای تکمیل واکنش خود به زمان بیشتری نیازمند هستند. زمانی که دما ۱۰°C به دمای بالاتر می‌رود، واکنش‌ها بهتر و منظم‌تر اتفاق می‌افتد و انتخنای نمودار برای دمای ۱۰°C، خطای آزمایشگاهی نیست، بلکه نشان می‌دهد با توجه به غلظت مواد، دمای ۱۰°C به زمان بیشتری برای رسیدن به بازدهی مطلوب احتیاج دارد. در شکل ۱۲ نیز برای دمای ۱۰°C این موضوع تکرار شده است.

شکل ۱۲، نمایانگر تمامی نمونه‌ها با غلظت ثابت ۵/۰ مولار است. نتایج بدست آمده گویای آن است که در نمونه‌های ۵/۰ مولار هم میزان درصد بازده کلسیم کربنات در تمامی نمونه‌ها با بازده‌های زمانی مختلف با افزایش دما و زمان افزایش پیدا کرده است. همچنین نمونه‌های ۴۵°C و ۲۵°C در زمان‌های بالاتر رفتاری مشابه از خود نشان داده‌اند و اختلاف بسیار کمی با هم دارند. با گذشت زمان، نتایج نشان می‌دهند که هر سه دما به میزان بیشینه‌ی خود نزدیک می‌شوند؛ ولی همچنان سرعت تکمیل واکنش در نمونه با دمای ۱۰°C، نسبت به دو دمای دیگر کمتر است. بیشترین اختلاف در ساعت اینتر بین نمونه‌های ۱۰°C و ۴۵°C و ۲۵°C و کمترین اختلاف در ساعت‌های پایانی بین نمونه‌های ۴۵°C و ۲۵°C بوده است. در مقایسه‌ی نمونه‌ی ۵/۰ مولار نسبت به نمونه‌ی ۳/۰ مولار، افزایش میزان کلسیم



شکل ۱۷. آزمایش اسکن الکترونی برای نمونه  $\frac{1}{3}$  مولار.

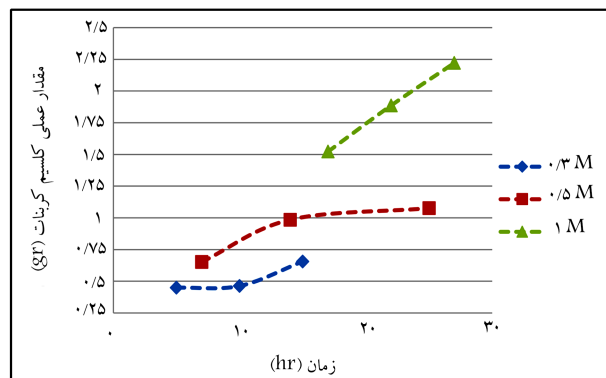


شکل ۱۸. آزمایش اسکن الکترونی برای نمونه  $\frac{1}{5}$  مولار.

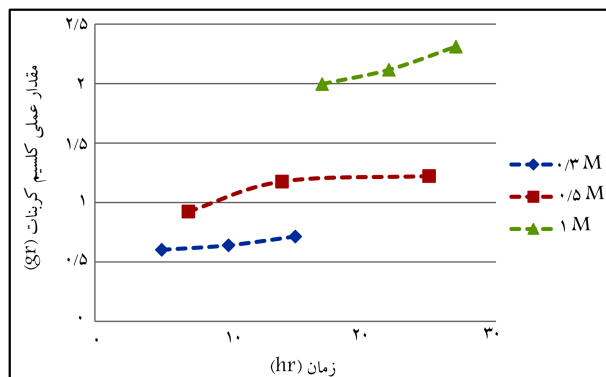
در نمونه‌ها از  $10\%$  برای نمونه  $\frac{1}{3}$  مولار تا  $31/2$  برای نمونه  $\frac{1}{5}$  مولار متغیر بوده است. در مجموع، مقایسه‌ی سه نمودار مذکور مشخص می‌شود که کمترین میزان تغییرات با بیشترین میزان کلسیت تشکیل شده در نمونه‌ها برای دمای  $45^\circ\text{C}$  بوده است. همچنین در تمامی نمودارهای بخش حاضر، افزایش میزان تغییرات کلسیت دو برابری هر نمونه با غلظت مشخص با نمونه با غلظت بالاتر قابل روئیت است.

### ۳. ارزیابی آزمایش اسکن الکترونی<sup>۱۴</sup>

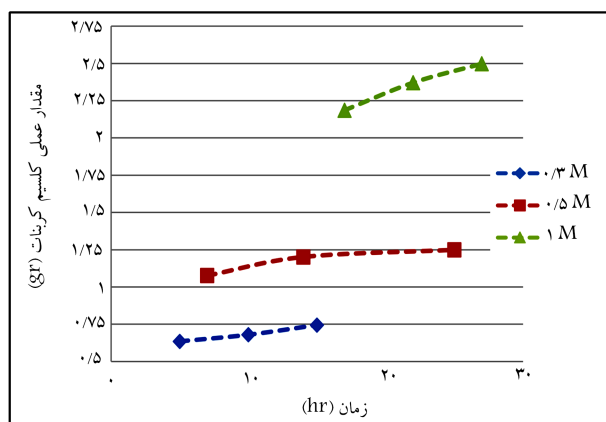
میکروسکوپ الکترونی، از ابزارهای مطالعه در نانوفتاوری است که می‌توان به شیوه‌ی بمباران الکترونی، تصاویری از اجسام به کوچکی  $10$  نانومتر تهیه کرد. اسکن الکترونی، اطلاعاتی مانند خصوصیات سطوح نمونه، شکل، اندازه، و نموده‌ی قرارگیری ذرات در سطح جسم و طول پیوند و ترکیب اجزاء نمونه را نشان می‌دهد. در پژوهش حاضر، برای نحوه‌ی قرارگیری رسوب‌های کلسیم در بین دانه‌های خاک، نمونه‌هایی در مرکز بنیاد تحقیقات کاربردی رازی برای آزمایش اسکن الکترونی آزمایش شدند (شکل‌های ۱۷ تا ۱۹). با توجه به نتایج به دست آمده از آزمایش اخیر، به نظر می‌رسد که واکنش‌های بیولوژیکی در داخل خاک باعث ایجاد رسوب در بین ذرات خاک می‌شود و پل‌هایی بین دانه‌های خاک ایجاد می‌کند که باعث افزایش مقاومت خاک می‌شوند. رسوبات کلسیت باعث می‌شوند که فضای خالی بین دانه‌ها پُر و سپس خاک سخت و پایدار شود، همچنین خصوصیات خاک مورد مطالعه بهبود یابد. به نظر می‌رسد که در نمونه‌های  $1$  مولار، پیوند محکم و قوی‌تری بین ذرات خاک ایجاد شده است که نتیجه‌ی رسوبات کلسیم کربنات است (طبق نتایج اعلام شده توسط مؤسسه). در نمونه  $\frac{1}{3}$  مولار نیز رسوب‌های کلسیم کربنات مشاهده شد، ولی پیوند ضعیف‌تری نسبت به دو نمونه دیگر داشت. همچنین از شکل‌ها و



شکل ۱۴. نمودار مقدار عملی کلسیم کربنات بر حسب زمان انجام واکنش در دمای  $10^\circ\text{C}$ .



شکل ۱۵. نمودار مقدار عملی کلسیم کربنات بر حسب زمان انجام واکنش در دمای  $25^\circ\text{C}$ .



شکل ۱۶. نمودار مقدار عملی کلسیم کربنات بر حسب زمان انجام واکنش در دمای  $45^\circ\text{C}$ .

نتایج نشان داد که تغییرات افزایش کلسیت همانند نمونه در دمای  $10^\circ\text{C}$  با افزایش غلظت افزایش نشان داده است، ولی تغییرات افزایش ذکر شده کلسیت نسبت به دمای پایین تر خود تقریباً نصف شده بود، بدین معنی که نمونه‌ها با دمای بالاتر تغییرات کمتری در روند تشکیل کلسیت خود داشته‌اند. این مقادیر برای نمونه  $\frac{1}{3}$  مولار برابر  $11/68$ ، نمونه  $\frac{1}{5}$  مولار برابر  $29/84$  و برای نمونه  $1$  مولار برابر  $31/42$  بوده است.

شکل ۱۶، نیز بیانگر نمونه‌ها با دمای ثابت  $45^\circ\text{C}$  است. تغییرات افزایش کلسیت

۲. با توجه به نتایج حاصل و مشاهده‌ی آثار دما در روند آزمایش، نتیجه‌گیری می‌شود که با افزایش دما مقدار رسوبات کلسیم کربنات بیشتر شده است و در دمای‌های بالاتر (۴۵°C) نمونه‌ها با سرعت بالاتری واکنش خود را تکمیل کرده‌اند که این امر موجب تأثیر در مقاومت خاک و بهسازی بهتر خاک می‌شود.

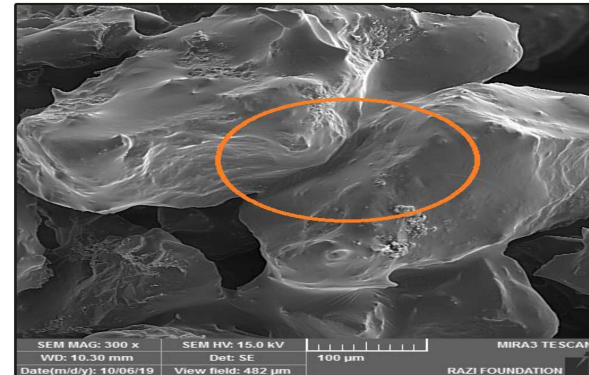
۳. غلظت اوره و کلسیم کاراید تأثیر زیادی در نتیجه‌ی کار داشته است. نمونه‌ها با مولار بالاتر (۱ مولار)، با سرعت و مقدار بیشتری رسوبات کلسیم کربنات را تولید کرده‌اند. بیشترین میزان بازده در نمونه‌ی ۱/۳ مولار برابر ۹۸/۷ در نمونه‌ی ۵/۰ مولار برابر ۹۹/۸۶٪ و در نمونه‌ی ۱ مولار برابر ۹۹/۹۲ بوده است.

۴. طبق نتایج کلسیم کربنات، در همان ساعت‌های ابتدایی، ساخت نمونه‌ها تشکیل شده است. با توجه به غلظت مواد استفاده شده، زمان‌های مختلفی در نظر گرفته شد که نشان داد نمونه‌ها با غلظت بالاتر به زمان بیشتری برای تکمیل واکنش خود نیاز دارند، تا به مقدار ثابتی برسند.

۵. نتایج نشان داد که نمونه‌ها با دمای ثابت ۱۰°C، نیاز به زمان بیشتری برای تکمیل واکنش و مقدار بهینه‌ی کلسیت تشکیل شده در نمونه‌ها دارند. همچنین نمونه‌ها با دمای ثابت با افزایش غلظت مواد به زمان بیشتری برای تکمیل واکنش خود نیازمند هستند.

۶. براساس نتایج حاصل شده، نمونه‌های سیمانه شده نفوذپذیری کمتری نسبت به نمونه‌ی سیمانه نشده دارند. نفوذپذیری نمونه‌ی ماسه‌ی تیز نسبت به نمونه‌ی سیمانه شده بین (۷٪ / ۳۵٪) نمونه با غلظت ۱/۰ مولار) تا (۱٪ / ۳۵٪) نمونه با غلظت ۱ مولار) کاهش نفوذپذیری مشاهده شده است.

۷. پیوند بین ذرات که با کمک رسوبات کلسیم کربنات در روش اخیر به وجود آمده است، در نتایج قابل رویت است. رسوبات کلسیم کربنات موجب پرشدن فضای خالی بین ذرات می‌شوند که به خودی خود باعث افزایش مقاومت و سختی خاک و درنهایت پایداری خاک می‌شود. نتایج نشان می‌دهند که در نمونه‌ها با مولار بالاتر، پیوند بین ذرات و همچنین طول پیوند بیشتری ایجاد شده است.



شکل ۱۹. آزمایش اسکن الکترونی برای نمونه‌ی ۱ مولار.

شواهد پیداست که طول پیوند در نمونه‌ی ۱ مولار بیشتر از دو نمونه‌ی دیگر بوده و پیوند کاملاً تشکیل شده است.

## ۵. نتیجه‌گیری

در پژوهش حاضر به بررسی زمان تکمیل واکنش تحت شرایط متفاوت دمایی، غلظت مواد و غلظت باکتری مختلف در سیماناتاسیون بیولوژیکی خاک‌های ماسه‌یی با دانه‌بندی یکنواخت، همچنین بررسی نفوذپذیری خاک ماسه‌ی سیمانه شده و سیمانه نشده و نحوه اتصال و پیوند بین ذرات در روش اشاره شده پرداخته شده و این نتایج به دست آمده است:

۱. تغییرات غلظت باکتری در روند واکنش نمونه‌ها و شکل‌گیری رسوبات کلسیم کربنات و زمان انجام واکنش تأثیر بهسازی نداشته است. تغییرات غلظت باکتری در بیشترین تغییرات خود حدود ۵٪ نتواء داشته است که می‌توان جهت صرفه‌ی اقتصادی و افزایش سرعت عمل کار از باکتری با غلظت بازه‌ی پایین در انجام آزمایش‌ها استفاده کرد.

## پانوشت‌ها

1. Deltares
2. Delf
3. CaCO<sub>3</sub>
4. Proteus Vulgaris
5. Bacillus Pasteurii
6. microbially induced calcite precipitation (MICP)
7. Sporosarcina Pasteurii
8. Lyophilized
9. Acrylamide
10. Nutrient agar
11. Nutrient Broth
12. HCl
13. CO<sub>2</sub>(g)
14. SEM

## منابع (References)

1. Modarresnia, A.R., Mohammadsadeghi, M., Abtahi, M. and et al. "A review microbiological material injection method (Bio-Grout) to strengthen the resistance parameters of loose soils", *1st National Conference on Civil Engineering and Development*, Ziba Kenar (in Persian) (2011).
2. Modarresnia, A.R., Mohammadsadeghi, M., Abtahi, M. and et al. "A review microbiological material injection method (Bio-Grout) to strengthen the resistance parameters of loose soils", *1st National Conference on Civil Engineering and Development*, Ziba Kenar (in Persian) (2011).
3. Chang, L. and Shahin, M.A.A. "Microbially induced calcite precipitation for stabilization", *Ecological Wisdom*

- Inspired Restoration Engineering, pp. 47-68 (2019).
4. Canakci, H., Sidik, W. and Halickilic, I. "Effect of bacterial calcium carbonate precipitation on compressibility and sheer strength of organic soil", *Soils and Foundations*, **55**(5), pp. 1211-1222 (2015).
  5. Azadi, M. and Pouri, S. "Effect of biological cementation sandy soil behavior", *SJCE*, **33**(2), pp. 71-77 (in Persian) (2017).
  6. Royne, A. and PHua, Y. "Bio-cementation through controlled dissolution and recrystallization of calcium carbonate", *Construction and Building Materials*, **167**, pp. 657-668 (2018).
  7. Whiffin ,V.S. "Biochemical methods for soil improvement", YELGIP Workshop, pp. 1-32 (2006).
  8. Whiffin, V.S. "Microbial CaCO<sub>3</sub> precipitation for the production of Biocement", Ph.D. thesis, School of Biological Sciences & Biotechnology, Murdoch University (2004).
  9. DeJong, J.T., Fritzges, M.B. and Nusslein, K. "Microbially induced cementation to control sand response to undrained shear", *Journal of Geotechnical and Geo Environmental Engineering*, **132**(11), pp. 1381-1392 (2006).
  10. DeJong, J.T., Mortensen, B.M., Martinez, B.C. and et al. "Bio-mediate soil improvement", *Ecological Engineering*, **36**(2), pp. 197-210 (2010).
  11. Al Qabany, A., Kenichi, S. and Santamarina, C. "Factors affecting efficiency of microbially induced calcite precipitation", *Journal of Geotechnical and Geoenvironmental Engineering*, **138**(8), pp. 992-1001 (2012).
  12. Feng, K. and Montoya, B.M. "Drained shear strength of MICP sand at varying cementation levels", *ASCE*, pp. 2242-2251 (2015).
  13. Mokhtari, E., Mir mohammad sadeghi, M., Sotodefar, A. and et al. "Evaluation of factors affecting the shear strength of biologically improved soil using Taguchi method", *Modares Civil Engineering Journal*, **16**(3), pp. 191-202 (in Persian) (2015).
  14. Sharaky, A.M., Mohamed, N.S., Elmashad, M.E. and et al. "Aplication of microbial biocementation to improve the PHysic mechanical of sandy soil", *Construction and Building Materials*, **190**, pp. 861-869 (2018).
  15. Haouzi, F.Z., Esnault, A. and Coucelles, B. "Performance studies of microbial induced calcite precipitation to prevent the erosion of internally unstable granular soils", Springer International Publishing AG, part of Springer Nature, pp. 37-49 (2019).
  16. Kakelar, M.M., Yavari , M., Yousefi, M.R. and et al. "The influential factors in the effectiveness of microbial induced carbonate precipitation (MICP) for soil consolidation", *Journal of Human Environment and Health Promotion*, **6**(1), pp. 40-46 (2020).
  17. Van Paassen, L.A., Harkes, M.P., Van Zwieten, G.A. and et al. "Scale up of BioGrout a biological ground reinforcement method", *Proceedings of 17th International Conference on Soil Mechanics and Geotechnical Engineering (ICSMGE)* (2009).
  18. Karol, R.H. "Chemical grouting and soil stabilization", New Brunswick, New Jersy (2003).
  19. Mc Connaughey, T.A. and Whelan, J.F. "Calcification generates protons for nutrient and bicarbonate uptake", *Earth-Science Reviews*, **42**(1-2), pp. 95-117 (1997).
  20. Behzadi Por, H., Pakbaz, M.S and Ghezelbash, GH. "Investigation of the effect of biological process on shear strength of sandy soils by direct shear test", *2th National Conference on Soil Mechanics and Pi Engineering University of Qom* (in Persian) (2017).
  21. Kahani, M. "The effect of calcium carbonate in sandy soils on increasing soil strength", Khajeh Nasir University of Technology (2012).